

大阪大学工学部 正員○橋本 葵
大阪大学工学部 古川憲治
大阪大学工学部 尾崎保夫

嫌気・好気式高濃度活性汚泥法では、嫌気と好気の両槽の間を高SS濃度の混合液が、循環され、又活性汚泥の平均細胞滞留時間(t_s)は極めて長く保持されるので、窒素と難分解性物質等の有機物が、除去できる。演者は、この方法で窒素およびポリビニールアルコール(PVA)等難分解性物質を効率よく除去するため、数年前より種々研究を積み重ねている。ここでは、本法の新しい動力学式を提出し、これを用いて解析された実験結果と至適運転法について報告する。

1. 嫌気・好気式高濃度活性汚泥法の動力学的解析

図-1に基づき嫌気槽の窒素、TOC、PVAの物質收支をとると(1)式で表わされる。本法は、活性汚泥濃度を高濃度に保ち、低負荷運転されてるので、槽内の活性汚泥の増殖はないものと仮定する。

$$V_1 \left(\frac{dl_1}{dt} \right)_m = Q_r l_2 + Q_s l_s - Q_r l_1 - Q_s l_1 - V_1 \left(\frac{dl_1}{dt} \right) \quad \dots \dots (1)$$

同様に、好気槽の物質收支をとると(2)式が得られる。

$$V_2 \left(\frac{dl_2}{dt} \right)_m = Q_r l_1 - Q_r l_2 - V_2 \left(\frac{dl_2}{dt} \right) \quad \dots \dots (2)$$

\therefore すなはち、 $\left(\frac{dl_1}{dt} \right)_m$; 嫌気槽内の窒素、TOC、PVA除去速度(mg/l/day)

$\left(\frac{dl_2}{dt} \right)_m$; 嫌気槽内の窒素、TOC、PVAの濃度変化(mg/l/day)

$\left(\frac{dl_2}{dt} \right)_m$; 好気槽内の窒素、TOC、PVA除去速度(mg/l/day)

$\left(\frac{dl_1}{dt} \right)_m$; 好気槽内の窒素、TOC、PVAの濃度変化(mg/l/day)

合成PVA廃水の場合; 基質除去は、零次反応に従う

ので(1)式、(2)式の($\frac{dl_1}{dt}$)と($\frac{dl_2}{dt}$)は、次式で示される。

$$\left(\frac{dl_1}{dt} \right)_m = K_1 S_1 \quad \dots \dots (3), \quad K_1: \text{嫌気槽の基質除去速度恒数} (\text{1/day})$$

$$\left(\frac{dl_2}{dt} \right)_m = K_2 S_2 \quad \dots \dots (4), \quad K_2: \text{好気槽の基質除去速度恒数} (\text{1/day})$$

定常状態では、(1)式、(2)式の左辺は、零となるので、

(1)式、(2)式、(3)式、(4)式より(5)式が得られる。

$$Q_s l_s - Q_s l_1 = V_1 K_1 S_1 + V_2 K_2 S_2 \quad \dots \dots (5)$$

$S_1 = S_2 = S$, $Q_s / Q_s = r$ (污泥循環比) とすると、定常状態では(1)式と(5)式より(6)式が導かれる。

$$\left(\frac{1}{r} + 1 \right) \frac{V_2}{V_1} = \frac{1}{K_2} \frac{Q_s (l_s - l_2)}{S_2 V_2} - \frac{K_1}{K_2} \quad \dots \dots (6)$$

合成廃水の場合; この場合の嫌気槽の基質除去は、 $\%/\text{日}$ 比が著しく低いので、一次反応に従う(1)式の($\frac{dl_1}{dt}$)は(7)式で示される。

$$\left(\frac{dl_1}{dt} \right)_m = k_1 S_1 l_1 \quad \dots \dots (7), \quad k_1: \text{嫌気槽の基質除去速度恒数} (\text{1/day})$$

2. 実験方法; 図-1の模式図に従い実験方法の概略を説明する。種々な $\%/\text{日}$ 比の合成廃水は、流量 Q_s で嫌気槽(V_1)に加えられる。嫌気槽の混合液は、汚泥ポンプ(①)により循環流量(Q_r)で好気槽に送られると共に嫌気槽に装着したフ

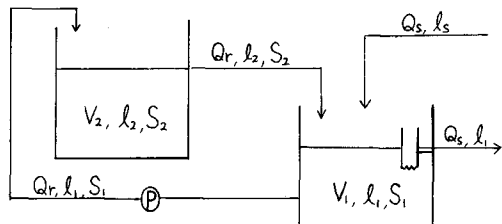


図-1. 嫌気・好気式高濃度活性汚泥法の模式図

l_s : 廉水の基質濃度(ppm), l_i : 嫌気槽内の基質濃度(ppm)
 l_2 : 好気槽内の基質濃度(ppm), V_1 : 嫌気槽の容積(l)
 V_2 : 嫌気槽の容積(l)
 S_1 : 嫌気槽のMLSS(ppm)
 S_2 : 好気槽のMLSS(ppm)
 Q_s : 廉水の流量(l/day)
 Q_r : 汚泥循環流量(l/day)
 $r = Q_s / Q_r$ (汚泥循環比)

定常状態では、 $\left(\frac{dl_1}{dt} \right)_m = 0$ となり、 $V_1 / Q_s = t_1$, $Q_r / Q_s = r$ とすると、(1)式、(7)式より(8)式が導かれる。

$$\frac{1}{S_1 t_1} \left(\frac{l_1}{l_1} + r \frac{l_2}{l_1} \right) = \frac{1}{S_2 t_2} (1+r) + k_1 \quad \dots \dots (8)$$

同様に、好気槽内の基質除去も一次反応とみなすと(2)式より(9)式が得られる。

$$k_2 S_2 l_2 = \frac{Q_r}{V_2} (l_1 - l_2) \quad \dots \dots (9)$$

ここで、 k_2 : 好気槽の基質除去速度恒数(1/PPM/day)
 $V_2 / Q_r = t_2$, $l_r = l_1 - l_2$ とする(9)式より(10)式が得られる。

$$\frac{l_r}{l_1} = \frac{k_2 S_2 t_2}{1 + k_2 S_2 t_2} \quad \dots \dots (10)$$

(10)式を変形すると(11)式が得られる。

$$\frac{S_2 t_2}{\frac{l_r}{l_1}} = S_2 t_2 + \frac{1}{k_2} \quad \dots \dots (11)$$

(8)式と(11)式より、嫌気槽と好気槽の基質除去速度恒数 k_1 , k_2 を求めることができる。

ルタ-で汚過され、極めて透明な処理水を得た。PVA 500 ppm (TOC 257 ppm), NH_4NO_3 285 ppm を含んだ合成 PVA 廃水-I ($S_{\text{N}}=2.93$) と PVA 1,000 ppm, NH_4Cl 385 ppm を含んだ合成 PVA 廃水-II ($S_{\text{N}}=5.46$) の処理は、 $V_1+V_2=9.5 l$, $Q_s=6.05 \text{ l}/\text{日}$, $Q_r=14 \sim 104 \text{ l}/\text{日}$, $\text{pH} 6.8 \sim 7.6$, 溫度 $29^\circ\text{C} \sim 30^\circ\text{C}$, $t_s=190 \text{ 日以上}$, 平均 MLSS 9,100 ppm で行った。一方、合成し尿 ($S_{\text{N}}=1.1$) は、ペプトン 1.72 g/l, 肉エキス 1.14 g/l に $(\text{NH}_4)_2\text{SO}_4$ を 2.8 g/l 加えて、TOC 1,000 ppm, total-N 900 ppm となるよう調整し、 $V_1+V_2=12 l$, $Q_s=2.6 \text{ l}/\text{日}$ または $6.8 \text{ l}/\text{日}$, $Q_r=12 \sim 36 \text{ l}/\text{日}$, $\text{pH} 6.2 \sim 8.1$ (平均 7.2), 溫度 25°C , 平均 MLSS 9,300 ppm で処理実験を行った。いずれも好気槽は、DO 3 ppm 以上となるように曝気し、嫌気槽は、攪拌機で均一に混合して、各運転条件で定常状態が得られるまで、2~3週間連續処理を行った。

3. 実験結果と考察； 合成 PVA 廃水-I の処理結果の一例を示すと、 $V_1/V_2=0.727$, $r=4.96$ では、窒素と PVA の除去率は、それぞれ 94.6% と 91.3% になり、窒素と PVA が、同時に効率よく除去できることが示された。

図-2 は、得られた実験結果を TOC 除去について解析したものである。合成 PVA 廃水-I の処理では、 $(\frac{1}{r}+1)\frac{V_2}{V_1}=64.2 \frac{Q_s}{SV_1}(l_s-l_2)-1.066$ --- (12), 合成 PVA 廃水-II の処理では、 $(\frac{1}{r}+1)\frac{V_2}{V_1}=26.3 \frac{Q_s}{SV_1}(l_s-l_2)-0.758$ --- (13) という直線が得られた。

図-3 は、同様に $\text{NH}_4\text{-N}$ 除去について解析したものである。合成 PVA 廃水-I では、 $(\frac{1}{r}+1)\frac{V_2}{V_1}=386 \frac{Q_s}{SV_1}(l_s-l_2)-1.42$ --- (14) となり、合成 PVA 廃水-II の処理では、 $(\frac{1}{r}+1)\frac{V_2}{V_1}=137 \frac{Q_s}{SV_1}(l_s-l_2)-0.898$ --- (15) となつた。

一方、合成し尿を処理したところ、TOC 除去率は、いずれも 94~96% と高かつたが、total-N 除去率は、亜硝酸型になつた一例 (92.9%) を除き、55~63% の範囲に止まつた。

図-4 は、嫌気槽内の total-N 除去を (8) 式を用いて解析したものである。図より、 $\frac{1}{S_1 T_1}(\frac{l_s}{l_1} + \frac{l_s}{l_1} r) = \frac{1+r}{S_1 T_1} + 7.3 \times 10^{-5}$ --- (16) が得られ、total-N 除去速度恒数 $k_1=7.3 \times 10^{-5} (\text{/ppm}\cdot\text{日})$ が求まる。

図-5 は、好気槽内の TKN 除去を (11) 式を用いて解析したものである。図より、 $\frac{S_2 t_2}{S_1 t_1} = S_2 t_2 + \frac{1}{7.87 \times 10^{-3}}$ --- (17) が得られ、TKN 除去速度恒数 $k_2=7.87 \times 10^{-3} (\text{/ppm}\cdot\text{日})$ が求まる。

4. まとめ； (1) 本法により、窒素と PVA 等難分解性物質が、ほぼ完全に除去されることが示された。(2) 動力学式を用い、合成 PVA 廃水の最適処理条件を求めると $V_1=5.29 l$, $V_2=4.21 l$, $r=3.80$ となり、合成し尿の total-N を 80% 除去するための最適条件を求めると、 $V_1=15.3 l$, $V_2=17.6 l$, $r=4.05$ になつた。

参考文献

- 橋本, 古川; 下水道協会誌 Vol. 14, No. 152, 16~23 (1977)
- 橋本, 尾崎, 古川; 第14回, 下水道研究発表会講演集 P. 299~301 (1977)

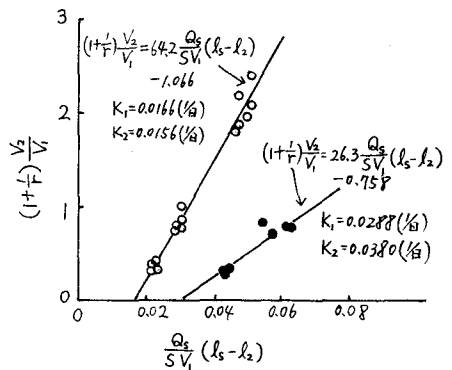


図-2, (6)式による TOC 除去の解析(合成 PVA 廃水)

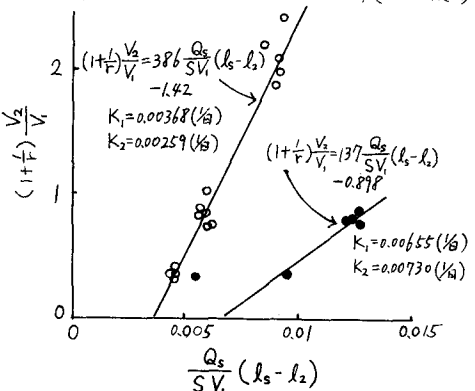


図-3, (6)式による $\text{NH}_4\text{-N}$ 除去の解析(合成 PVA 廃水)

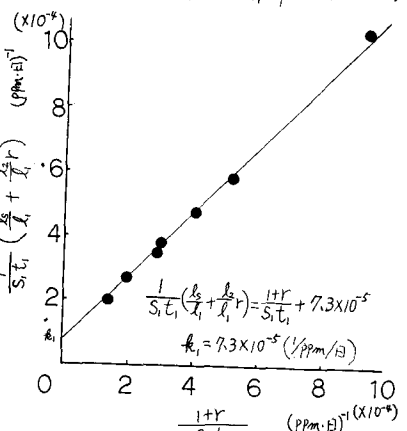


図-4, (8)式による Total-N 除去の解析(合成(尿))

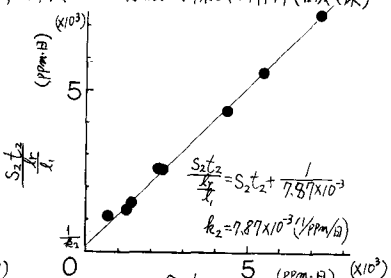


図-5, (11)式による TKN 除去の解析(合成(尿))